

Figura 3.27. Curvas de movimiento (Openni) en la rodilla derecha del voluntario 3

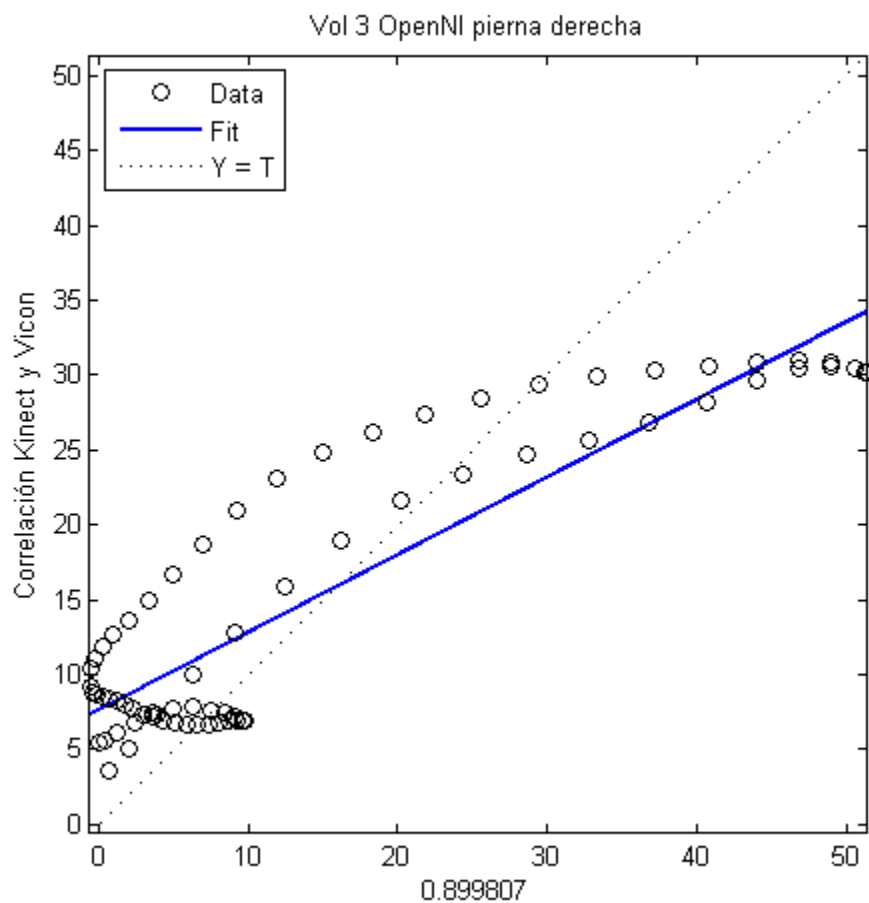


Figura 3.28. Correlación entre las curvas de movimiento la rodilla derecha del voluntario 3 obtenidas con Kinect (OpenNI) y Vicon

- **Rodilla Izquierda**

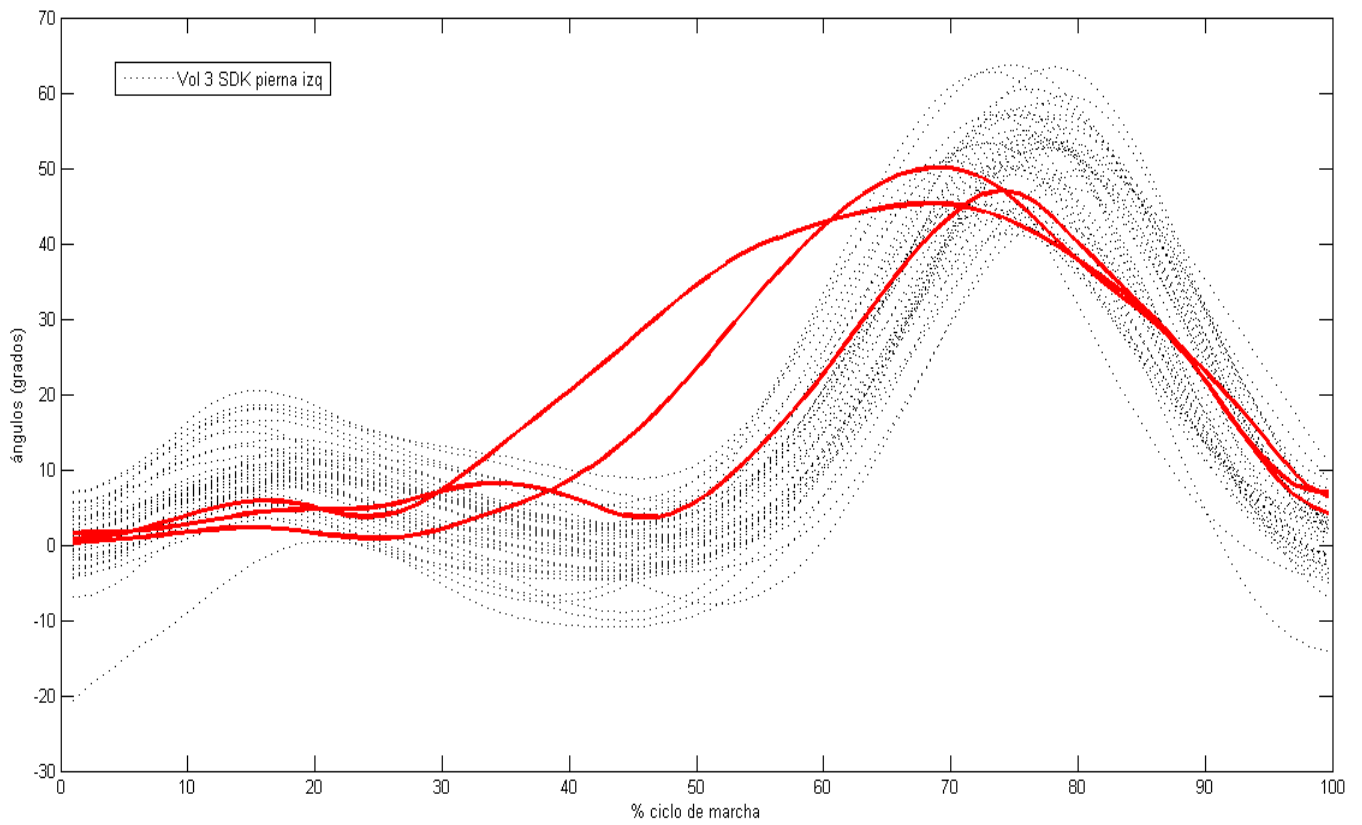


Figura 3.29. Curvas de movimiento (SDK) en la rodilla izquierda del voluntario 3

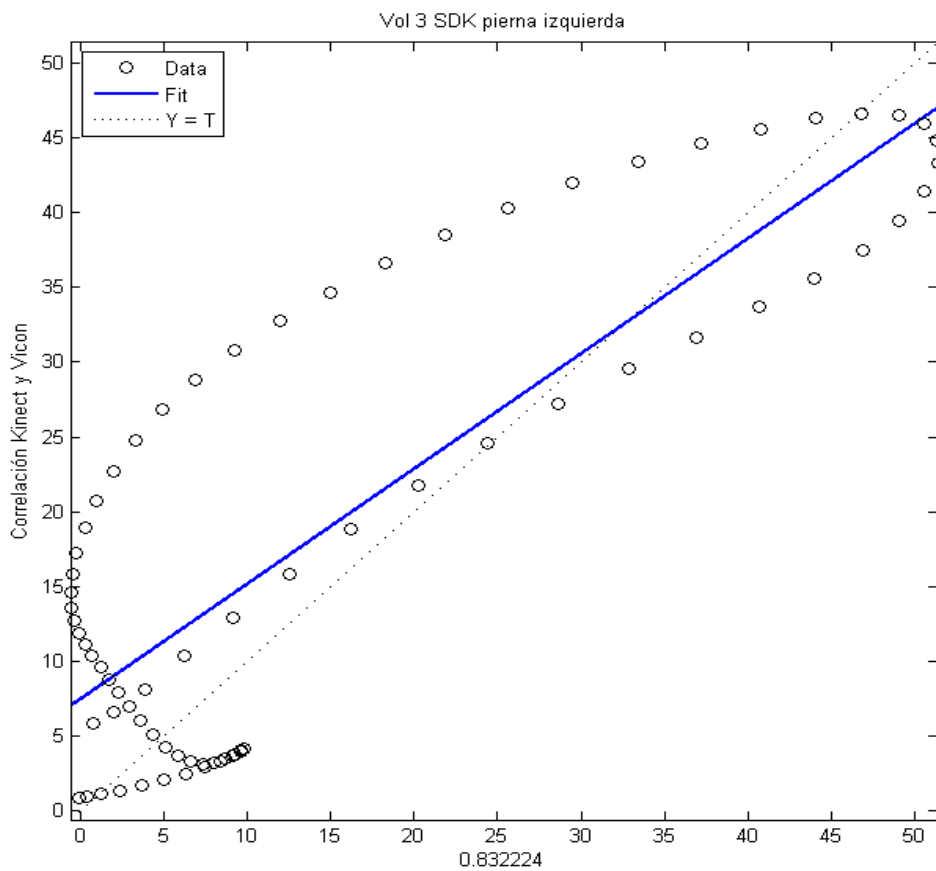


Figura 3.30. Correlación entre las curvas de movimiento la rodilla izquierda del voluntario 3 obtenidas con Kinect (SDK) y Vicon

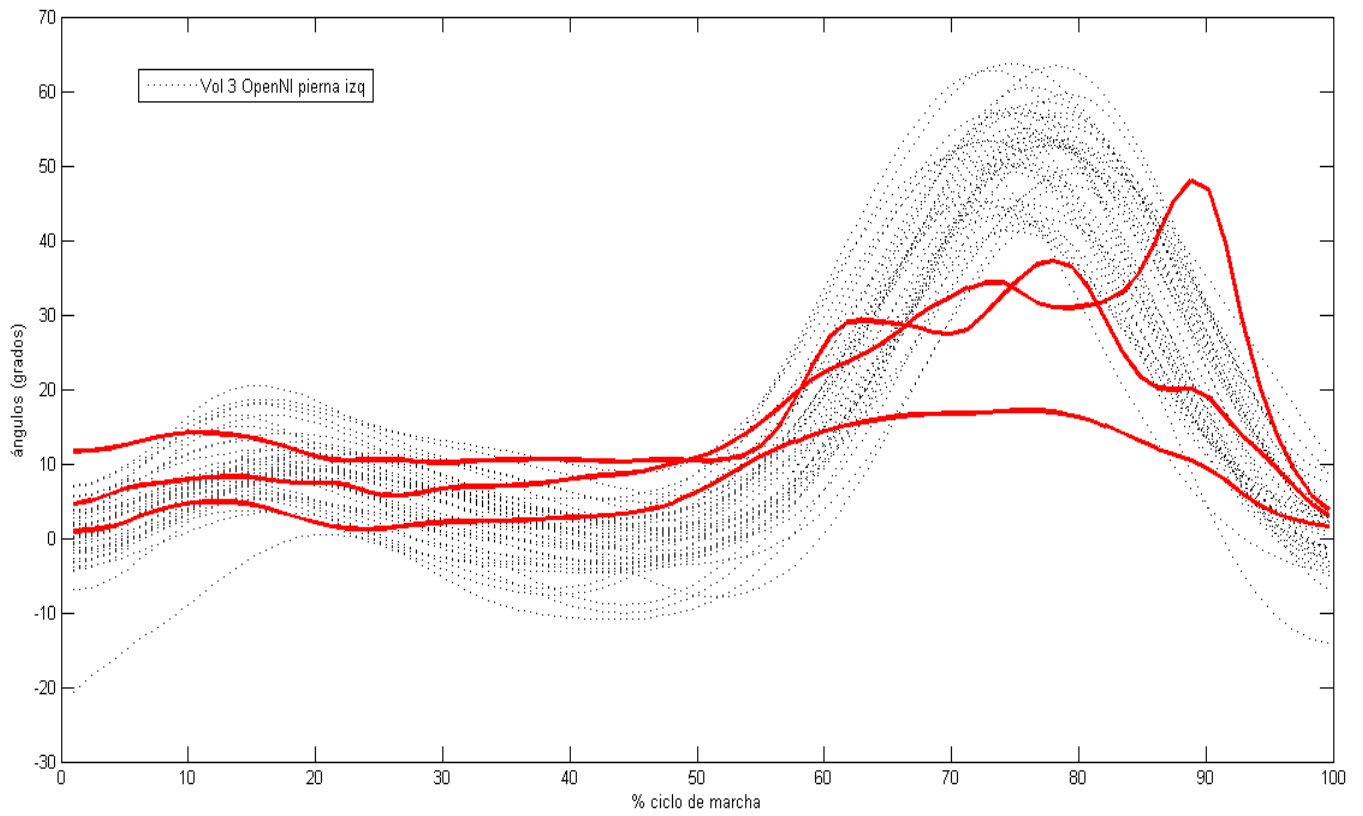
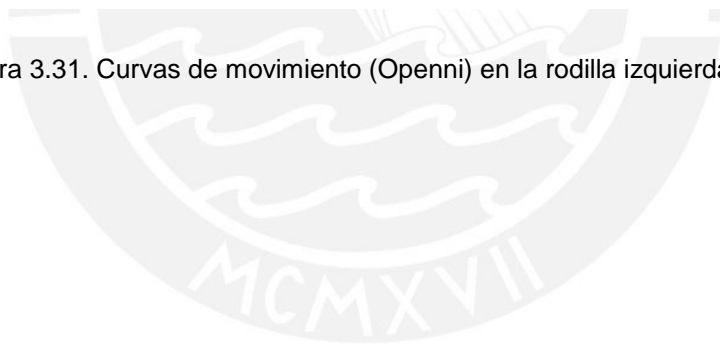


Figura 3.31. Curvas de movimiento (Openni) en la rodilla izquierda del voluntario 3



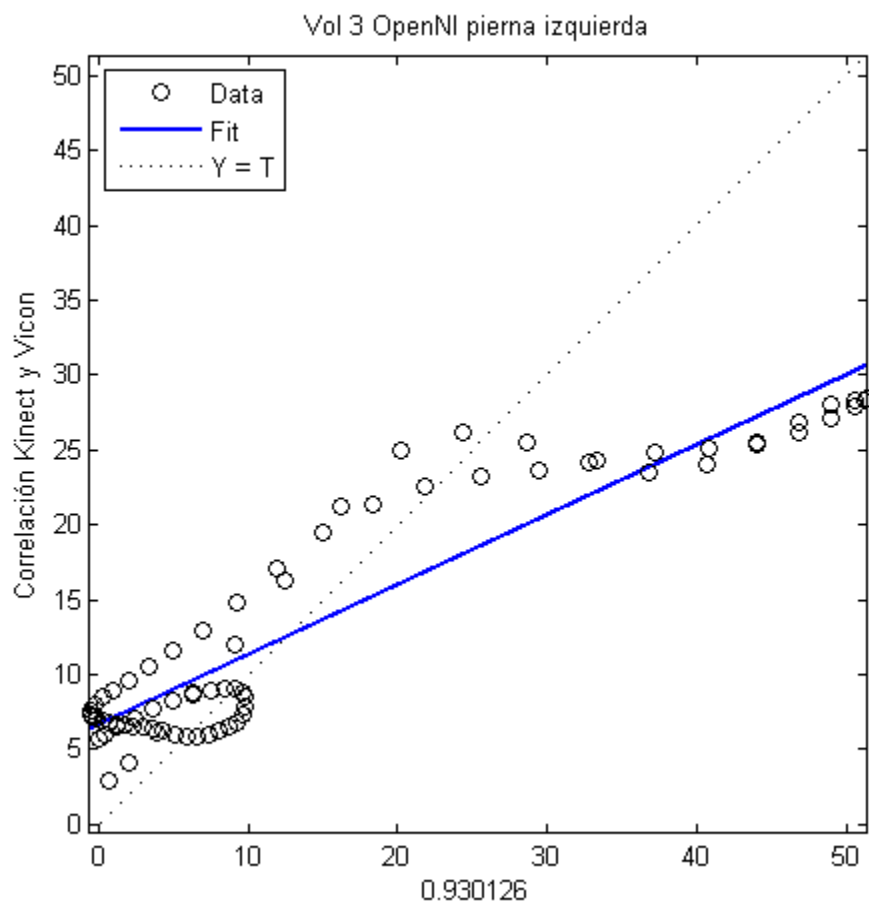


Figura 3.32. Correlación entre las curvas de movimiento la rodilla izquierda del voluntario 3 obtenidas con Kinect (OpenNI) y Vicon

- **Precisión y Exactitud**

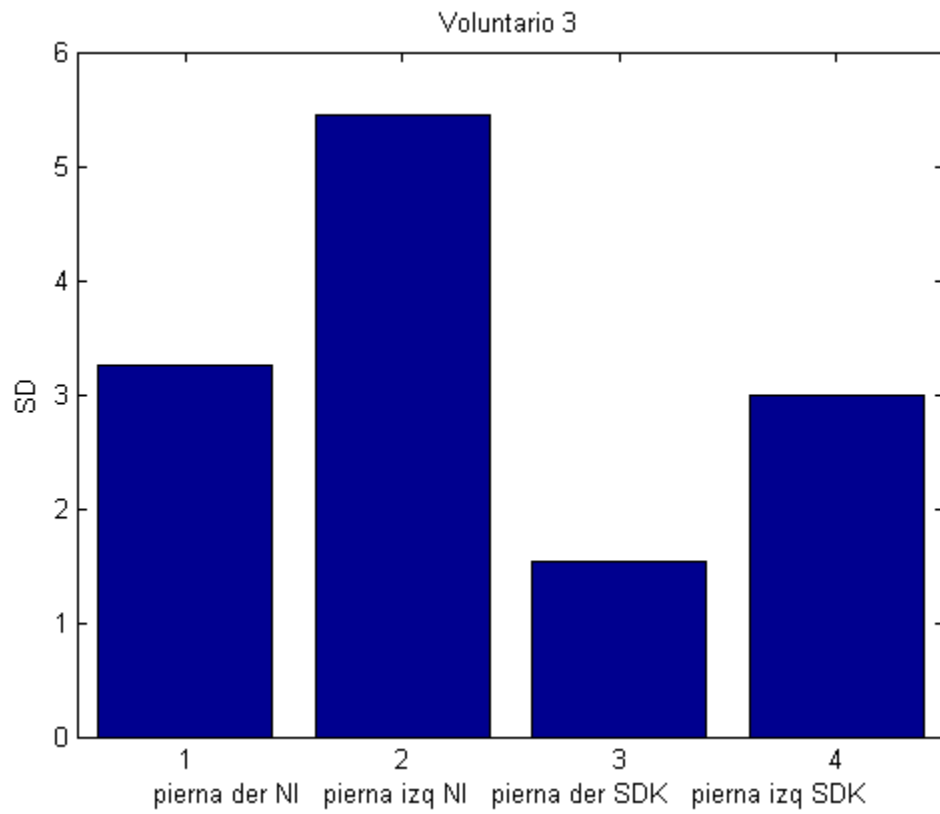


Figura 3.33. Precisión del Kinect medida de las pruebas del Voluntario 3

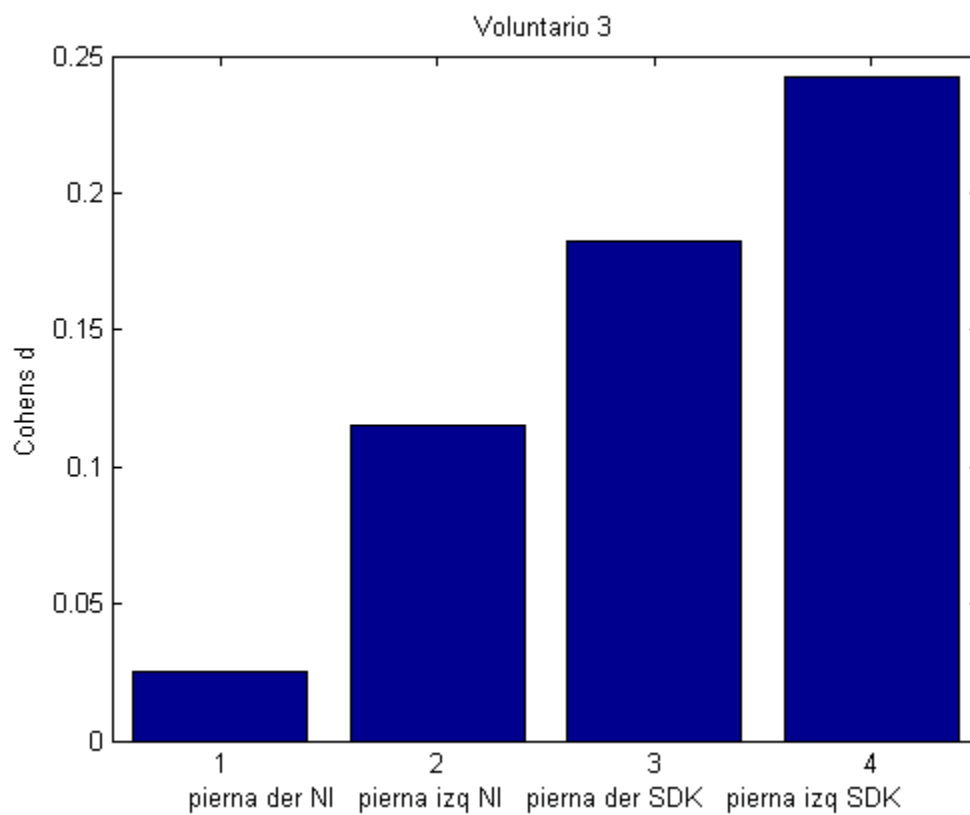


Figura 3.23. Exactitud del Kinect medida de las pruebas del Voluntario 3